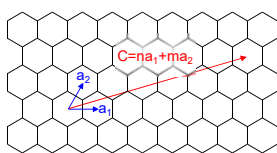
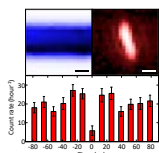


**単層カーボンナノチューブ**  
Single-walled carbon nanotubes

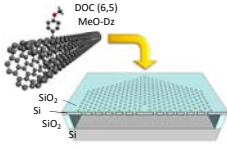


グラフェンシートが筒状に巻かれているもの  
Graphene sheet rolled up seamlessly  
直径はナノ、長さはミクロン  
Diameter of ~1 nm, length > microns  
カイラリティ ( $n, m$ ) で構造が一意に決まる  
Chirality ( $n, m$ ) completely determines the structure  
 $n-m$  が3で割り切れない場合は直接バンドギャップ  
Direct band gap if  $n-m \not\equiv 0 \pmod{3}$   
分光により ( $n, m$ ) の同定が可能  
Spectroscopic determination of ( $n, m$ ) possible

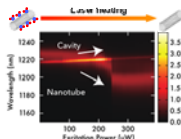
室温における單一光子発生  
Room-temperature single photon emission  
Phys. Rev. Applied 8, 054039 (2017).



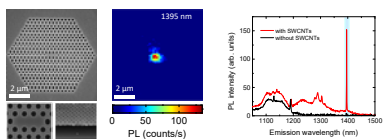
シリコン微小共振器による  
單一光子発生レート増強  
Enhanced single photon emission using silicon microcavities  
Phys. Rev. Applied 8, 054039 (2017).



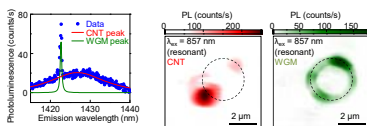
ナノビーム共振器との光結合制御  
Spectral tuning of optical coupling  
Appl. Phys. Lett. 112, 021101 (2018).



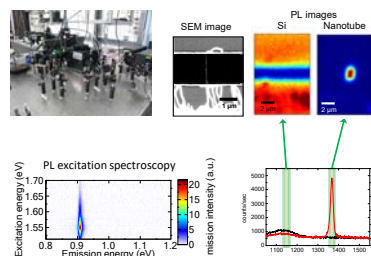
フォトニック結晶共振器による発光増強  
Emission enhancement by photonic crystal cavities  
Appl. Phys. Lett. 101, 141124 (2012).



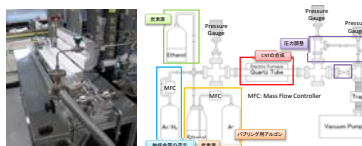
微小ディスク共振器との光結合  
Optical coupling to microdisk resonators  
Appl. Phys. Lett. 102, 161102 (2013).



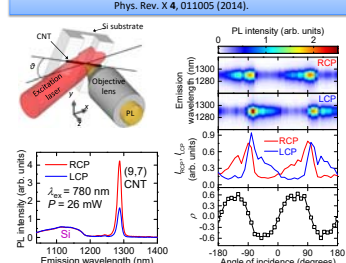
共焦点顕微分光システムによる単一ナノチューブの光学測定  
Optical characterization of individual carbon nanotubes



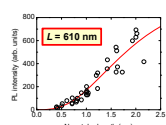
化学気相成長装置  
Chemical vapor deposition



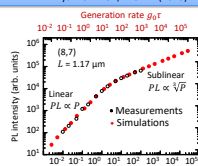
外因性キラリティによる巨大円二色性  
Giant circular dichroism induced by extrinsic chirality  
Phys. Rev. X 4, 011005 (2014).



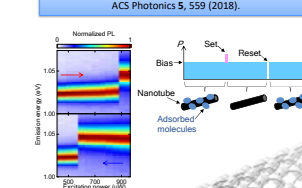
励起子拡散長の計測  
Exciton diffusion length  
Phys. Rev. Lett. 104, 247402 (2010).



励起子一励起子消滅における一次元効果  
Exciton-exciton annihilation  
Phys. Rev. B 91, 125427 (2015).

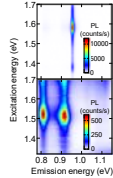


光双安定性と光メモリ  
Optical bistability and optical memory  
ACS Photonics 5, 559 (2018).



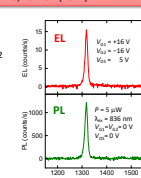
**カーボンナノチューブの光物性**  
Optical properties of carbon nanotubes

有機分子による多体効果制御  
Organic molecular effects on many-body interactions  
J. Phys. Chem. C 123, 5776 (2019).

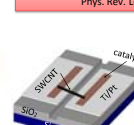


**カーボンナノチューブ・オプトエレクトロニクス**  
Carbon nanotube optoelectronics

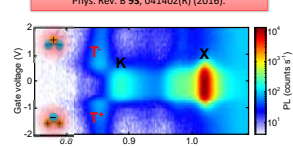
冷たい励起子の電界発光  
Cold exciton electroluminescence  
Appl. Phys. Lett. 110, 191101 (2017).



励起子解離の光电流検出  
Photocurrent detection of exciton dissociation  
Phys. Rev. Lett. 112, 117401 (2014).

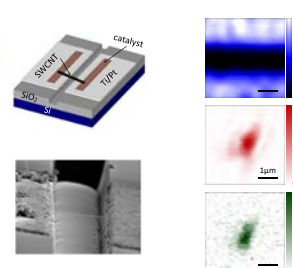
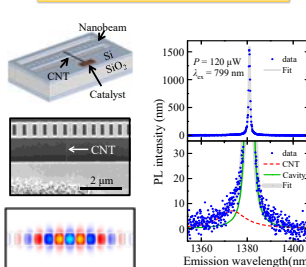


ゲート電圧によるトリオン生成  
Gate-voltage induced triions  
Phys. Rev. B 93, 041402(R) (2016).

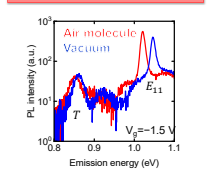


**カーボンナノチューブ・フォトニクス**  
Carbon nanotube photonics

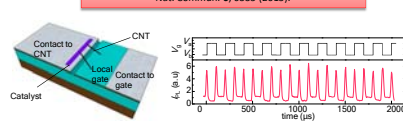
ナノビーム共振器との高効率結合  
Efficient coupling to nanobeam cavities  
Nat. Commun. 5, 5580 (2014).



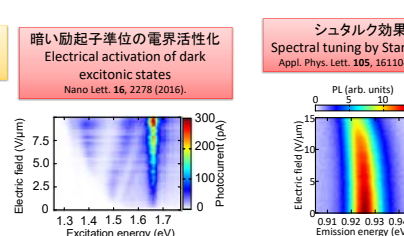
励起子-キャリア相互作用に対する分子遮蔽効果  
Molecular screening effects on exciton-carrier interactions  
Appl. Phys. Lett. 113, 121105 (2018).



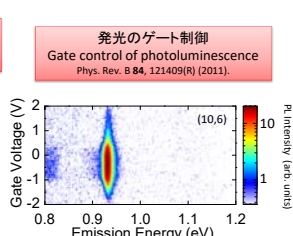
ゲート電圧による光パルス列生成  
Gate-voltage generated optical pulse trains  
Nat. Commun. 6, 6335 (2015).



暗い励起子準位の電界活性化  
Electrical activation of dark excitonic states  
Nano Lett. 16, 2278 (2016).



シタルク効果  
Spectral tuning by Stark effect  
Appl. Phys. Lett. 105, 161104 (2014).



発光のゲート制御  
Gate control of photoluminescence  
Phys. Rev. B 84, 121409(R) (2011).